

Нерегулярный рандомизационный способ

Представленные в Таблице 1 и на графиках (Рис.1, Рис.2) варианты, построенные на основе нерегулярного рандомизационного способа (см. также регулярный рандомизационный способ), охватывают приложения, с одной стороны, рассчитанные на среды с крайним дефицитом ресурса, порядка 200-275 логических элементов (GE, 4 транзистора), а с другой, на контроль целостности и сверхскоростную обработку информационных потоков, с производительностью в сотни и тысячи Гбит/сек.

Таблица 1

ОЦЕНКИ $n/\min\{k\}$ КОМПЛЕКСИРОВАНИЯ n-разрядных R-счетчиков и R-генераторов, с k-разрядными LFSR, удовлетворяющие статистич. тестам DIEHARD				
КОМПЛЕКСИРОВАНИЕ генераторов с периодом $T_{n/k} = T_n \cdot \max\{1, 2^k - 1\}$		ПРОТОТИПЫ РЕАЛИЗАЦИЙ		
		МИНИМАЛИСТСКИЕ	ПЕРЕХОДНЫЕ	УСИЛЕННЫЕ
С ЛОКАЛЬНОЙ СВЯЗЬЮ ПО ВЫХОДУ	R-счетчики	$n/k = 8/24 \ 16/18$ $17/17 \ 28/2 \ n_{\min} = 29$	$5/21 \ 8/21 \ 16/16$ $17/12 \ 28/2 \ 29$	$4/24 \ 8/21 \ 16/16$ $24/6 \ 25$
	R-генераторы	$7/24 \ 8/23 \ 16/20$ $17/17 \ 26/4 \ 27$	$5/22 \ 8/22 \ 16/20$ $17/15 \ 27/2 \ 28$	$7/21 \ 8/21 \ 16/16$ $24/3 \ 25$
С ГЛОБАЛЬНОЙ СВЯЗЬЮ ПО ВЫХОДУ	R-счетчики	$10/24 \ 16/18 \ 17/17$ $28/2 \ 29$	$2/24 \ 4/14 \ 5/9$ $7/4 \ 8/2 \ 9$	$2/22 \ 3/14 \ 4/10$ $5/4 \ 6/3 \ 7/2 \ 8$
	R-генераторы	$10/24 \ 16/20 \ 17/17$ $26/6 \ 27$	$5/24 \ 6/23 \ 7/21$ $8/17 \ 10/7 \ 11$	$4/24 \ 6/18 \ 7/14$ $8/9 \ 9/3 \ 10/2 \ 11$
Затраты (GE)	счетчики	$(3.5 \div 4.5) \cdot n + g_{n,k}$	$5.5 \cdot n + g_{n,k}$	$6.5 \cdot n + g_{n,k}$
	генераторы	$(4.5 \div 5.5) \cdot n + g_{n,k}$	$6.5 \cdot n + g_{n,k}$	$7.5 \cdot n + g_{n,k}$
Число триггеров		$2 \cdot n + k$	$3 \cdot n + k$	$4 \cdot n + k$
Мощность ключевого пр-ва 2^w		$w = v \cdot n + k$	$w = v \cdot n + n + k$	$w = v \cdot n + 2 \cdot n + k$
Обозначения: $T_n = 2^u$ – гарантированный, с вероятностью $1 - 2^{-u}$, период R -генератора, при $k = 0$ и $u = n \cdot \max\{1, 24/n_{\min}\}$; $1 \leq v \leq 4$ – коэффициент разнообразия генерируемых R -последовательностей; $g_{n,k} = \min\{n, k\} + c_k$ – число бит LFSR комплексируемых с битами опорного R -генератора, где $c_k = 0$ без комплексирувания с LFSR, $c_k = 1$ для примитивных одночленов и 3, для трехчленов LFSR. Примечание: Затраты на элементы типа XOR даны для конфигураций с памятью хранения ключей, рассчитанной только на считывание (RO), при этом показатель 2^w характеризует глубину тотального перебора, необходимую для вскрытия внутреннего состояния представленных R -генераторов.				

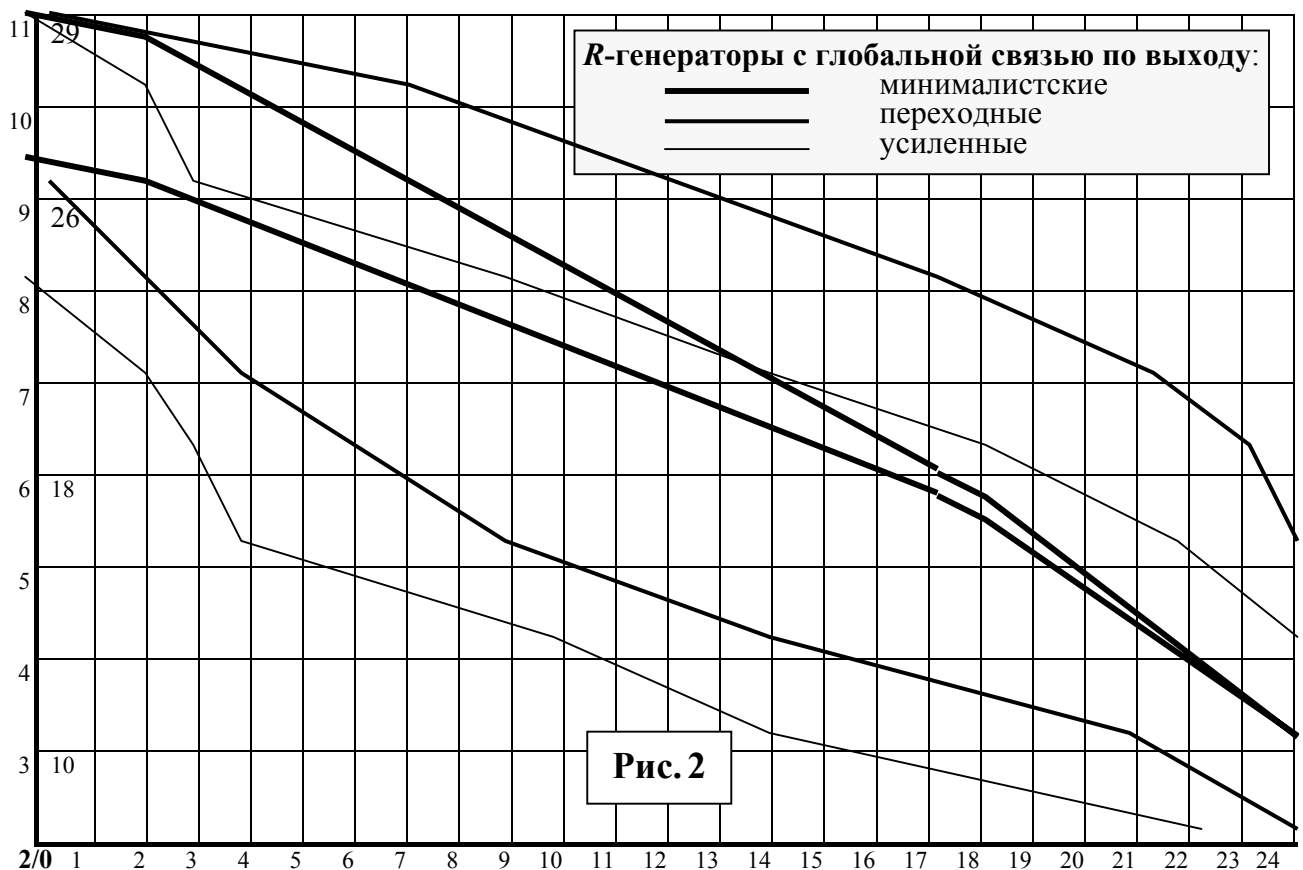
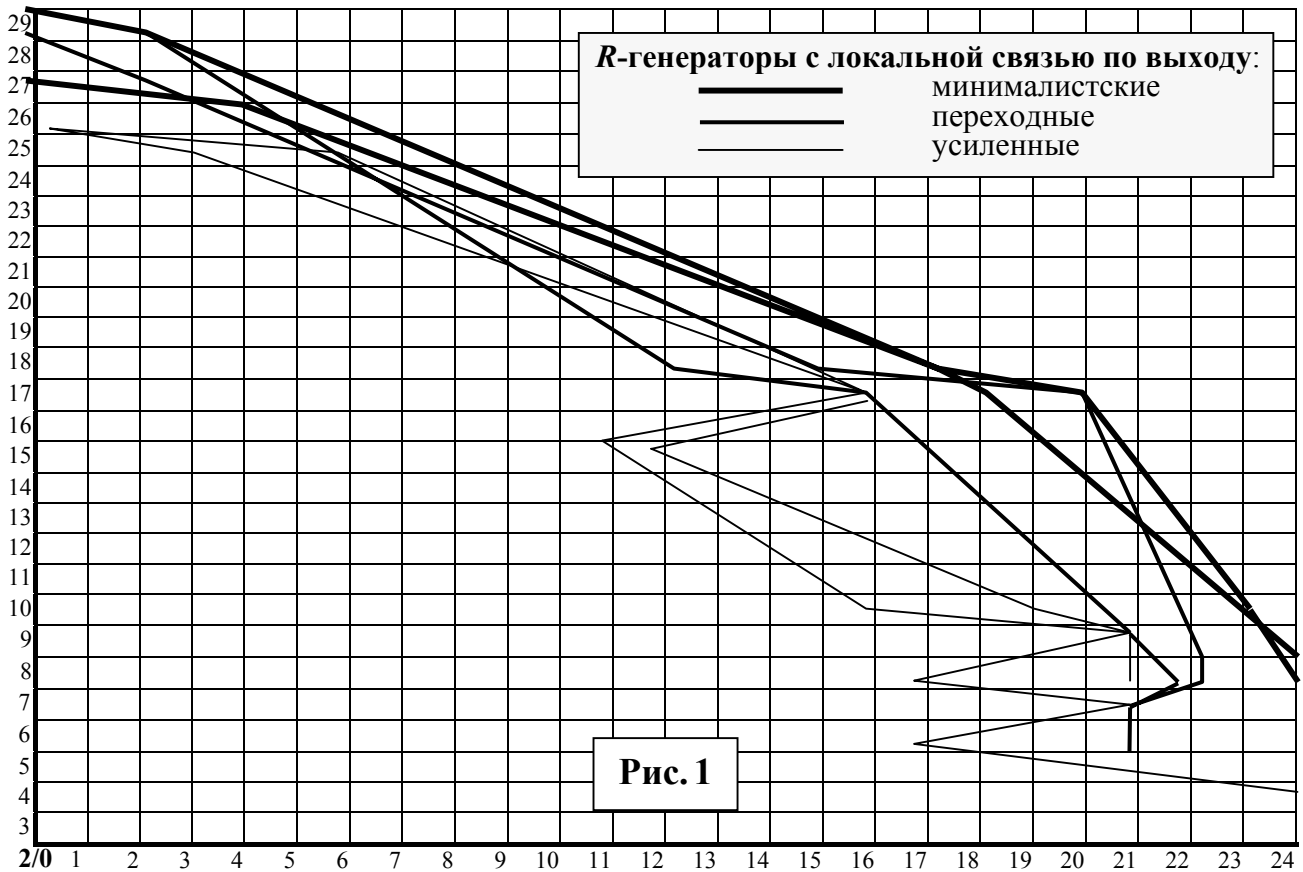
Пример 1. Для реализации на основе CMOS технологий блока аутентификации (защиты от подделки) дешевых пассивных радиочастотных смарт-карт с длиной платформы $n = 32$ бит, требуется, без учета затрат на хранение и обновление ключей, $2 \cdot n = 64$ триггера и около $4.5 \cdot n = 144$ (GE) логических элементов (576 транзисторов), против $10^3 - 3 \cdot 10^4$ GE у известных промышленных прототипов (NESSIE). При этом глубина тотального перебора, необходимая для вскрытия внутреннего состояния смарт-карты, составляет порядка 2^{128} .

Пример 2. Для реализации на основе CMOS технологий потокового генератора с одно-разрядным выходом, периодом порядка 2^{64} , глубиной тотального перебора порядка 2^{256} и с длиной платформы $n = 64$ бит, требуется, без учета затрат на хранение и обновление ключей, $2 \cdot n = 128$ триггеров и около $4.5 \cdot n = 288$ (GE) логических элементов (1152 транзистора).

Пример 3. Для реализации на основе CMOS технологий высококачественного $n = 128$ разрядного генератора гаммы (псевдослучайных чисел) с периодом порядка 2^{280} и глубиной тотального перебора порядка 2^{512} , требуется, без учета затрат на хранение и обновление ключей, $3 \cdot n = 384$ триггера и около $6.5 \cdot n = 832$ (GE) логических элементов (3328 транзисторов).

Для обеспечения необходимого уровня сложности, могут использоваться, как много раундовые преобразования, так и усечение выхода генератора. Последнее наиболее эффективно при несущественно малой части отсекаемых бит.

В общем, при длинах блоков гаммы 64 и 128 бит, пропускная способность при использовании 1.2 - 0.13μm CMOS технологий, рассчитанная исходя из быстродействия триггеров, составляет порядка 30 - 850 и 60 - 1700, или (0.5 - 13) n Гбит/сек.



Примечание. К основным недостаткам нерегулярного рандомизационного способа, не усиленного линейным рекуррентным способом, представляемого полем Галуа $GF(2)$, относятся возможность их вырождения, в нашем случае до периода T_n , пропорциональным n , хотя и вероятность такого вырождения чрезвычайно, а при комплексировании с LFSR исчезающе, мала.

Ко всему, представляемые нерегулярным рандомизационным способом варианты реализаций могут выступать в качестве высокоэффективных прототипов однонаправленных функций, в частности, хеш-функций и MAC, используемых для контроля целостности информации.